



RADIOATENUACI N TROPOSF ERICA POR LLUVIA PARA CIUDAD BOL VAR Y PUERTO AYACUCHO

(Tropospheric radio attenuation by rain for Ciudad Bolivar and Puerto
Ayacucho)

Romer A. Saggiomo G

Ingeniero en Inform tica

Universidad Rafael Belloso Chac n. Maracaibo – Venezuela

rsaggiomo@hotmail.com

Carlos Durante

Doctor en F sica

Universidad del Zulia. Maracaibo – Venezuela.

Correo electr nico: cdurante@luz.edu.ve

RESUMEN

El prop sito fundamental de esta investigaci n es determinar la radioatenuaci n troposf erica por lluvia que sufren los radioenlaces en Ciudad Bol var y Puerto Ayacucho. Basados en los datos de lluvia anuales de a os anteriores, mediante la aplicaci n del m todo de pron stico de Promedio M vil Integrado de Auto Regresi n (ARIMA), fue posible determinar la radioatenuaci n en funci n de la frecuencia y la intensidad de lluvia registrada mensualmente para los a os 2009 al 2011 con  ndices de error confiables. Este desarrollo est  relacionado directamente a los problemas que producen las precipitaciones en forma de lluvia en los enlaces de radiofrecuencias, donde se observa la p rdida en la potencia de la se al electromagn tica a causa de la disipaci n de energ a en forma de calor por las gotas de lluvia. El estudio est  compuesto por 4 fases de desarrollo, basado en la recopilaci n de los datos de estaciones meteorol gicas de la zona, los cuales fueron suministrados por el Centro Internacional de Investigaci n del Fen meno del Ni o, seguido por la aplicaci n y an lisis del m todo de pron stico ARIMA y la estimaci n de la intensidad de lluvia por hora pronosticada y por  ltimo se presentan los resultados de las radioatenuaciones para cada per odo mensual. El tipo de investigaci n es de campo y predictiva con dise o no experimental. Se concluy  que Puerto Ayacucho es la ciudad que presenta mayor radioatenuaci n troposf erica debido a la alta intensidad de lluvia.

Palabras claves: pron stico, lluvia, radioatenuaci n, troposfera, ARIMA.

ABSTRACT

The fundamental intention of this investigation is to determine the tropospheric radio attenuation by rain that occurs in radio links in Ciudad Bolivar and Puerto Ayacucho. Based on the annual rain data of previous years, by means of the application of the method of prognosis Autoregressive Integrated Moving Average (ARIMA), it was possible to determine the radio attenuation by month as function of the frequency



and the intensity of registered rain for years 2009 to 2011 with reliable error indices. This development is directly related to the problems that rain precipitations produce in radio frequencies links, where is observed the loss in the power of the electromagnetic signal because of the dissipation of energy in heat form by the drops of rain. The study is made up of 4 phases of development, based on the compilation of the data of weather stations of the zone, which was provided by the International Center on Research El Ni o, followed by the application and analysis of the method of prognosis ARIMA and the estimation of the intensity of rain per foretold hour and finally the results of the radio attenuation for every monthly period appear. The investigation is field and predictive-type and with not experimental design. One concluded that the Cold one is the locality that presents/displays Greater radio attenuation occurs in Puerto Ayacucho.

Keywords: forecast, rain, radio attenuation, troposphere, ARIMA.

INTRODUCCI N

La necesidad de comunicarse a distancia surgi  con el desarrollo de la civilizaci n y las lenguas, desde tiempos muy remotos. Desde la antigüedad existieron sistemas de comunicaciones a distancia tales como el uso de fuego o humo entre otros.

Desde que en diciembre de 1901 Marconi estableciera la primera comunicaci n transoce nica entre Gran Bretaña y Terranova en Canad , la evoluci n y transformaci n de las necesidades de comunicaci n, as  como la de las tecnolog as de telecomunicaciones, han originado un gran n mero de desarrollos en el campo de las comunicaciones inal mbricas (televisi n, radio, telefon a, etc.), que permiten comunicaciones a grandes distancias con un alto grado de confiabilidad.

A pesar que las comunicaciones por sat lite son una de las tecnolog as m s confiables, en algunos casos, pueden ser interrumpidas por causa de factores naturales, los cuales pueden ocasionar un debilitamiento de la se al a medida que pasa por el enlace. La presencia de lluvia en el trayecto de la transmisi n en la principal fuente de degradaci n de la se al. Las gotas de lluvias adsorben y dispersan la energ a de la onda, resultando una reducci n de la amplitud de la se al transmitida (atenuaci n), la cual degrada la confiabilidad y el desempe o del enlace de comunicaciones.

La investigaci n fue desarrollada en cuatro fases, comenzando por la recopilaci n de series de lluvia en mm/mes de ciudad Bol var y Puerto Ayacucho, las cuales fueron tomados del Centro Internacional de Investigaci n del Fen meno del Ni o; seguida de la aplicaci n y an lisis del M todo de Pron stico ARIMA, el posterior c lculo de la intensidad de lluvia en mm/hr y finalmente la determinaci n de la radioatenuaci n troposf rica para cada una de las ciudades para los a os 2009 al 2011, mediante el uso de un software desarrollado en MatLab.



BASES TEÓRICAS

PROPAGACIÓN DE RADIOFRECUENCIAS EN EL ESPACIO LIBRE

Todo sistema de telecomunicaciones debe diseñarse para que en el receptor se obtenga una relación señal-ruido mínima que garantice su funcionamiento. Los servicios de radiocomunicaciones, radiodifusión, radiolocalización, teledetección y radioayudas a la navegación, soportan la transmisión de la información mediante el empleo de ondas electromagnéticas (Cardama, Cofre, Roca, Rius, Romeo, Blanch, 2004, pag. 39). Para poder planificar correctamente cualquiera de estos sistemas es imprescindible conocer los factores que puedan alterar la propagación electromagnética, su magnitud y su influencia en las diferentes bandas de frecuencias.

La relación entre la potencia recibida y la transmitida (pérdida de transmisión) por dos antenas separadas por una distancia r en condiciones del espacio libre es:

$$\frac{P_R}{P_T} = \frac{1}{4\pi r^2} D_T A_{efR} = \left(\frac{\lambda}{4\pi r} \right)^2 D_T D_R = \left(\frac{1}{\lambda r} \right)^2 A_{efT} A_{efR} \quad (1)$$

Donde:

P_R : Potencia Receptora

P_T : Potencia Transmitida

D_R : Directividad Receptora

D_T : Directividad Transmitida

A_{efR} : Área Efectiva Receptora

A_{efT} : Área Efectiva Transmitida

λ : Longitud de Onda

r : Distancia entre Base Emisora y Receptora

La propagación en el espacio libre y la propagación en el vacío responden a un modelo ideal análogo, pero en el entorno terrestre muy pocas situaciones se ajustan a este modelo ya que la misma presencia de la tierra, de la atmósfera y de la ionosfera alteran las condiciones de propagación.

Debido a la concentración de gases en la atmósfera se originan diferencias entre la propagación de las señales en el vacío y en la atmósfera. La capa más baja de la atmósfera denominada troposfera, se extiende desde el nivel del mar hasta aproximadamente unos 18 Km de altura en el ecuador, ocurriendo en ésta la mayor



concentraci n de gases. Bajo condiciones atmosf ricas normales la concentraci n de gases disminuye con la altura, lo que origina una variaci n del  ndice de refracci n de la atm sfera en funci n de la altura, constituyendo la atm sfera un medio de propagaci n no homog neo y provocando una curvatura de las trayectorias de propagaci n.

Es significativo destacar que la presencia de gases en la atm sfera origina atenuaci n importante debido a las mol culas de ox geno y al vapor de agua, que son los gases de mayor presencia en la atm sfera. Adicionalmente los factores meteorol gicos como la lluvia pueden ocasionar atenuaciones dependiendo de la frecuencia de trabajo y la intensidad de las precipitaciones.

EFFECTO DE LA TROPOSFERA Y LA RADIOATENUACI N

Las principales causas de la atenuaci n atmosf rica son la absorci n molecular de los gases contenidos en la atm sfera y la atenuaci n producida por hidrometeoros.

La primera es debida principalmente a las mol culas de ox geno y vapor de agua, la cual es pr cticamente despreciable para frecuencias inferiores a los 10 GHz, mientras que a frecuencias superiores muestra un comportamiento creciente con la frecuencia. A 22,3 GHz y 60 GHz se presentan los primeros indicios de atenuaci n debido al vapor de agua y ox geno.

Dentro de la atenuaci n por hidrometeoros, la m s importante es la producida por la lluvia, ya que la niebla, la nieve y el granizo producen atenuaciones menores en las bandas SHF e inferiores. La atenuaci n por lluvia depende de varios factores tales como: la intensidad, el tipo de lluvia y el tama o y la velocidad de las gotas de agua.

Para calcular la atenuaci n total producida por la lluvia, se multiplica la atenuaci n espec fica por la longitud de la celda de lluvia. Por lo que para la planificaci n de un servicio es necesario sobredimensionarlo, considerando la probabilidad de que ocurra cierta intensidad de lluvia y que la atenuaci n adicional asociada a la intensidad no afecte el servicio.

Seg n la recomendaci n ITU-R P.838-3, la atenuaci n espec fica de la lluvia γ_R (dB/Km), es obtenida de la intensidad de lluvia R (mm/h) mediante la siguiente f rmula:

$$\gamma_R = kR^\alpha \text{ (dB / Km)} \quad (2)$$

Donde los valores de los coeficientes k y α son determinados como funciones de frecuencia en el rango de 1 a 1.000 GHz, de las ecuaciones 3 y 4.

$$\log_{10} k = \sum_{j=1}^4 a_j \exp \left[- \left(\frac{\log_{10} f - b_j}{c_j} \right)^2 \right] + m_k \log_{10} f + c_k \quad (3)$$

$$\alpha = \sum_{j=1}^5 a_j \exp \left[- \left(\frac{\log_{10} f - b_j}{c_j} \right)^2 \right] + m_\alpha \log_{10} f + c_\alpha \quad (4)$$

Para el cálculo de los coeficientes según su polarización, k_H , k_V y α_H , α_V ; por medio de las ecuaciones 3 y 4, es necesario usar los valores correspondientes de los cuadros 1, 2, 3 y 4 respectivamente.

Cuadro 1. Coeficientes para k_H

j	a_j	b_j	c_j	m_k	c_k
1	-5,3398	-0,10008	1,13098	-0,18961	0,71147
2	-0,35351	1,2697	0,454		
3	-0,23789	0,86036	0,15354		
4	-0,94158	0,64552	0,16817		

Cuadro 2. Coeficientes para k_V

j	a_j	b_j	c_j	m_k	c_k
1	-3,80595	0,56934	0,81061	-0,16398	0,63297
2	-3,44965	-0,22911	0,51059		
3	-0,39902	0,73042	0,11899		
4	0,50167	1,07319	0,27195		

Cuadro 3. Coeficientes para α_H

j	a_j	b_j	c_j	m_α	c_α
1	-0,14318	1,82442	-0,55187	0,67849	-1,95537
2	0,29591	0,77564	0,19822		
3	0,32177	0,63773	0,13164		
4	-5,3761	-0,9623	1,47828		
5	16,1721	-3,2998	3,4399		

Cuadro 4. Coeficientes para α_v

j	a_j	b_j	c_j	m_α	c_α
1	-0,07771	2,3384	-0,76284	-	0,83433
2	0,56727	0,95545	0,54039	0,053739	
3	-0,20238	1,1452	0,26809		
4	-48,2991	0,791669	0,116226		
5	48,5833	0,791459	0,116479		

Para el cálculo de los coeficientes k y α con las componentes horizontales k_H , α_H y verticales k_V , α_V obtenidas, se sustituyen los valores utilizando las siguientes ecuaciones:

$$k = \frac{k_H + k_V + \cos^2 \theta \cos 2\tau}{2} \quad (5)$$

$$\alpha = \frac{\alpha_H + \alpha_V + \cos^2 \theta \cos 2\tau}{2k} \quad (6)$$

Donde:

θ = ángulo de elevación del trayecto de la onda en grados

τ = ángulo de la inclinación de la polarización en grados

Una vez obtenidos los coeficientes k y α , es posible calcular el valor de la radioatenuación por efecto de la lluvia en dB/Km mediante la ecuación 2 para un determinado valor de intensidad de lluvia R .

Entretanto, como las gotas de lluvia no son esféricas debido al efecto de rozamiento del aire, estas tienden a achatarse formando esferoides con el eje vertical menor que el horizontal lo que significa que para la polarización vertical la atenuación es ligeramente menor que para la polarización horizontal, tal como se muestra en el cuadro 5.

Cuadro 5. Coeficientes dependientes de la frecuencia para estimar la atenuación específica por lluvia.

Frecuencia (GHz)	k_H	α_H	k_V	α_V
1	0,0000259	0,9691	0,0000308	0,8592
5	0,0002162	1,6969	0,0002428	1,5317
10	0,01217	1,2571	0,01129	1,2156
25	0,1571	0,9991	0,1533	0,9491
50	0,6600	0,8084	0,6472	0,7871
100	1,3671	0,6815	1,3680	0,6765
200	1,6378	0,6382	1,6443	0,6343
500	1,5418	0,6253	1,5366	0,6272
1000	1,3795	0,6396	1,3822	0,6365

SERIES TEMPORALES

Una serie temporal es un conjunto de valores observados, medidos durante períodos sucesivos. Está formada por cuatro componentes teóricas: tendencia, variaciones estacionales, variaciones cíclicas y variaciones residuales.

La primera está dada por el movimiento general a largo plazo de la serie. Las variaciones estacionales son oscilaciones que se producen con un periodo igual o inferior a un año y se reproducen de forma reconocible en los diferentes años. Las variaciones cíclicas son oscilaciones que se producen con un periodo superior a un año, debidas principalmente a la alternancia de etapas largas (ciclos), en las que se repite el comportamiento de las series. Las variaciones residuales son movimientos en la serie que no muestran un carácter periódico reconocible y que son originados por fenómenos singulares que afectan la variable en estudio de manera casual y no permanente.

MÉTODOS DE PRONÓSTICO CUANTITATIVOS

El pronóstico es un proceso de estimación de un acontecimiento proyectando hacia el futuro datos del pasado. Éstos, se combinan sistemáticamente en forma predeterminada para hacer una estimación del futuro.

Los métodos de pronósticos cuantitativos son modelos matemáticos que se basan en datos históricos, bajo el supuesto de que son relevantes para el futuro. Estos modelos se pueden utilizar con series de tiempo.

Puede hablarse de dos clases de pronósticos: condicionales e incondicionales.



El primero se realiza mediante modelos causales, como es el caso de un modelo que relaciona dos variables, una dependiente, Y, y otra independiente, X, las predicciones de Y están condicionadas a X, es decir se predice Y dada X; el segundo es el que se hace mediante métodos autoproyectivos, que a su vez están basados en dos enfoques alternativos: el determinista o clásico, y el estocástico o moderno, el cual está basado en la metodología de Box y Jenkins.

El enfoque estocástico es más adecuado cuando las series de tiempo son de mayor tamaño (Pérez, 2005, pág 256), razón por la cual se ha seleccionado para el desarrollo de esta investigación.

PROMEDIO MÓVIL INTEGRADO DE AUTO REGRESIÓN (ARIMA)

El modelo ARIMA fue desarrollado por Box y Jenkins, dicho modelo tiene en cuenta la dependencia existente entre los datos, en el cual cada observación en un momento dado es modelada en función de los valores anteriores.

El nombre ARIMA es derivado de sus tres componentes: Autoregresivo (AR), Integrado (I) y de Medias Móviles (MA). El modelo permite describir un valor como una función lineal de datos anteriores y errores debidos al azar, adicionalmente puede incluir un componente cíclico o estacional, con el objetivo de obtener un modelo adecuado que contenga todos los componentes necesarios para describir el fenómeno.

MODELO AUTOREGRESIVO AR(p)

Un modelo autoregresivo AR(p) describe una clase particular de proceso en el que las observaciones en un momento determinado son predecibles a partir de las observaciones previas del proceso más un término de error.

El proceso autorregresivo de orden p, toma la forma:

$$Y_t = \phi_1 Y_{t-1} + \phi_2 Y_{t-2} + \dots + \phi_p Y_{t-p} + e_t \quad (7)$$

Donde Y_t es la variable dependiente y $Y_{t-1}, Y_{t-2} \dots Y_{t-p}$ son las variables independientes. En este caso, estas variables independientes son valores de la misma variable (de aquí el nombre de auto), es decir, observaciones de períodos anteriores. Por último, e_t es el error, o término residual que representa las perturbaciones aleatorias que no pueden ser explicadas por el modelo.



MODELO DE MEDIAS MÓVILES MA(q)

Un modelo de este tipo también describe una serie temporal estacionaria, en él el valor actual puede predecirse a partir de la componente aleatoria de este momento y en menor medida de los impulsos aleatorios anteriores.

El proceso de medias móviles de orden q, se representa de la siguiente forma:

$$Y_t = e_t - \theta_1 e_{t-1} - \theta_2 e_{t-2} - \dots - \theta_q e_{t-q} \quad (8)$$

En donde, como en el modelo anterior, e_t es el error o residuo y $e_{t-1}, e_{t-2} \dots e_{t-q}$, son los valores anteriores del error.

MODELOS ARMA (p,q)

Estos modelos incluyen términos autorregresivos, como el de medias móviles, también se denominan ARIMA (p,0,q) y se representan por la ecuación que nace de la combinación de las ecuaciones 7 y 8, en la cual se muestra los valores futuros a partir de las observaciones pasadas y de los errores pasados entre los valores reales y pronosticados, tal como se muestra en la siguiente ecuación:

$$Y_t = \phi_1 Y_{t-1} + \phi_2 Y_{t-2} + \dots + \phi_p Y_{t-p} + e_t - \theta_1 e_{t-1} - \theta_2 e_{t-2} - \dots - \theta_q e_{t-q} \quad (9)$$

Para modelos con datos estacionales, las ecuaciones 7, 8 y 9 podrían no ser suficientes y deben completarse con parámetros estacionales. Los modelos estacionales pueden ser: AR, MA y ARMA. Un modelo AR estacional con datos mensuales sería:

$$Y_t = \phi_{12} Y_{t-12} + e_t \quad (10)$$

Para un modelo MA estacional mensual tendría la forma siguiente:

$$Y_t = e_t - \theta_{12} e_{t-12} \quad (11)$$

Y un modelo mixto ARMA estacional mensual presentaría la siguiente ecuación:

$$Y_t = \phi_{12} Y_{t-12} + e_t - \theta_{12} e_{t-12} \quad (12)$$



MODELO ARIMA (p,d,q)

Un modelo ARIMA (p,d,q) permite describir una serie de observaciones después de que hayan sido diferenciadas d veces, con el objeto de extraer las posibles fuentes de no estacionariedad. Es aplicable a cualquier modelo y si alguna de las componentes p,d,q es igual a cero, se elimina el termino correspondiente de la formula general.

Para determinar los tres parámetros del método ARIMA, ya sean los simples (p,d,q) y/o los estacionales (P,D,Q), se procede con el análisis de los datos para identificar los patrones de tendencia, ciclicidad y estacionalidad. Generalmente, utilizando la diferenciación simple o estacional de la serie de datos original, se obtiene la estacionalidad. Luego, los análisis de autocorrelación simple y parcial se efectúan para poder identificar el orden de cada parámetro del método ARIMA. Estos parámetros son elegidos según los resultados de la representación en los retardos de las gráficas de autocorrelación simple y parcial.

PROCEDIMIENTO

A continuación se resumen las cuatro fases llevadas a cabo durante en desarrollo de esta investigación para el cálculo de la radioatenuación troposférica por lluvia para localidades Ciudad Bolívar y Puerto Ayacucho.

RECOPIACIÓN DE LOS DATOS DE LLUVIA

Para el desarrollo de esta fase fue necesario realizar visitas a varias instituciones ambientales además de algunas páginas Web como el centro Internacional de investigación del fenómeno del Niño, que ofrecen información meteorológica, con el fin de realizar una revisión de los datos meteorológicos disponibles de Ciudad Bolívar y Puerto Ayacucho.

APLICACIÓN Y ANÁLISIS DEL MÉTODO DE PRONÓSTICO

El desarrollo de esta fase lo constituyó el análisis de las series de tiempo, mediante el uso de diagramas espectrales para la determinación de la estacionalidad y período de la serie, seguido de la realización de autocorrelaciones simples y parciales con ensayos de diferentes diferenciaciones, finalmente se identifican los modelos ARIMA con los coeficientes óptimos para la realización de los pronósticos de lluvia.

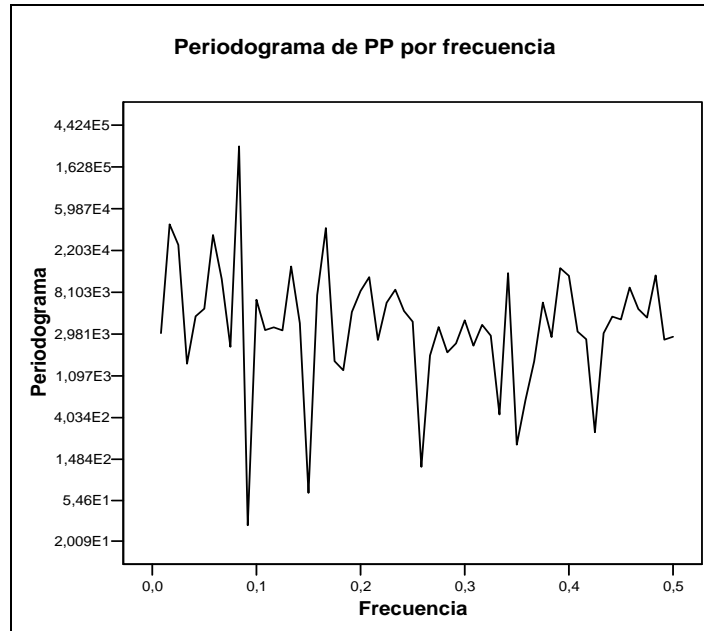


Figura 1. Diagrama espectral para determinar la estacionalidad de la serie de datos de lluvia real de ciudad Bolívar. Fuente: SPSS, Saggiomo (2009)

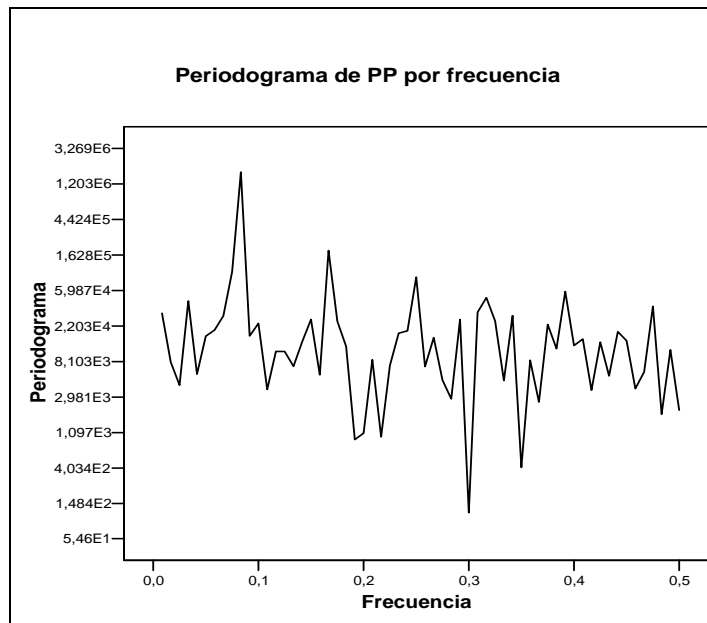


Figura 2. Diagrama espectral para determinar la estacionalidad de la serie de datos de lluvia real de Puerto Ayacucho. Fuente: SPSS, Saggiomo (2009)

La figura 1 muestra un pico significativo en la frecuencia 0,08, determinando que el periodo correspondiente es igual a 12 meses, resultado de calcular el inverso de la frecuencia, es decir $1/0.08$. La figura 2 muestra un pico destacable a una frecuencia de 0,08, lo que indica un período igual a 12 meses.

Adicionalmente se analizaron los valores de la medias y las varianzas de las series de datos por estaciones y por años, detectándose que existen variaciones crecientes y decrecientes a lo largo de los años, lo que indicó que no existe estacionariedad en los datos y conllevó a la realización de diferentes ensayos de diferenciación a partir de los cuales fue posible identificar los modelos ARIMA correspondiente a cada uno de la localidades.

Los modelos resultantes son los siguientes:

Ciudad Bolívar: ARIMA (100) (011)₁₂,

Puerto Ayacucho: ARIMA (100) (110)₁₂

Los valores de lluvia estimados a partir de cada uno de los modelos pueden observarse en las figuras 3 y 4, superpuestos con los valores de lluvias reales de cada una de las localidades.

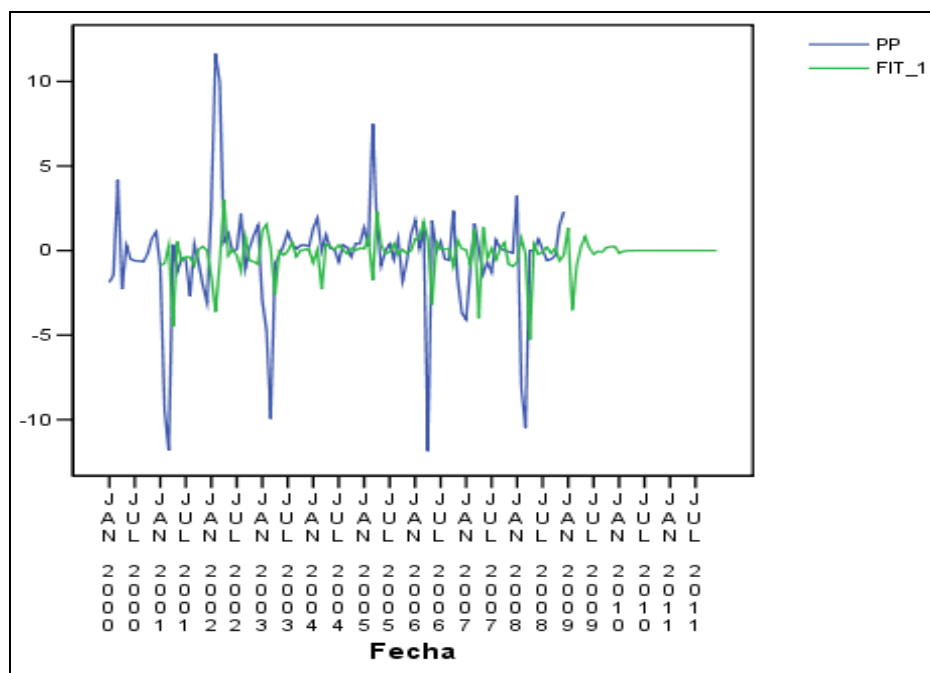


Figura 3. Valores de lluvia real y pronosticada de ciudad Bolívar.

Fuente: SPSS, Saggiomo (2009)

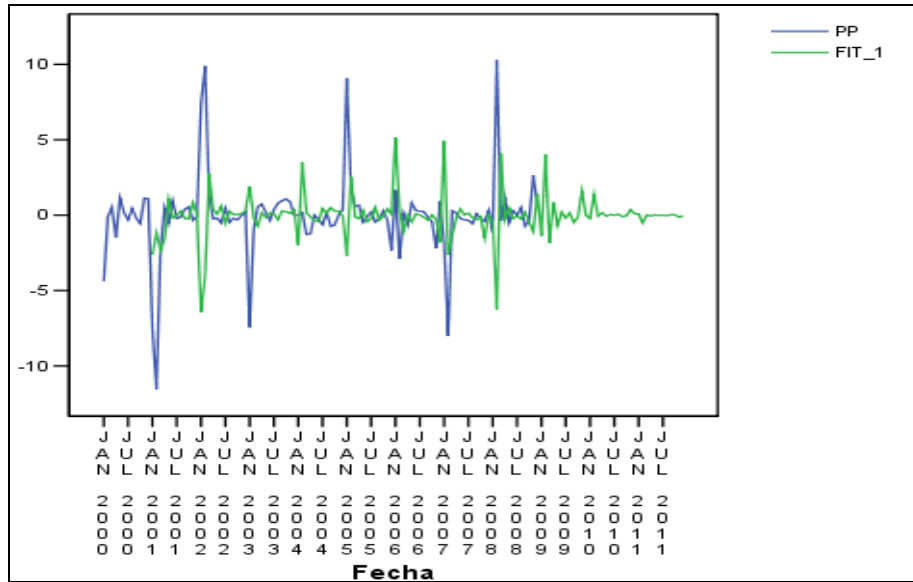


Figura 4. Valores de lluvia real y pronosticada de puerto Ayacucho.

Fuente: SPSS, Saggiomo (2009)

ESTIMACIÓN DE LA INTENSIDAD DE LLUVIA POR HORA

El procedimiento consistió en dividir los valores de lluvia expresados en mm/mes, por el número de días correspondientes al mes, posteriormente dividirlo por el número de horas de un día (24 horas). Las unidades de los valores resultantes se expresan en mm/hr.

Cuadro 5. Intensidad de lluvia. Ciudad Bolívar

AÑO	ENE (mm/h)	FEB(mm/h)	MAR(mm/h)	ABR(mm/h)	MAY(mm/h)	JUN(mm/h)	JUL(mm/h)	AGO(mm/h)	SEP(mm/h)	OCT(mm/h)	NOV(mm/h)	DIC (mm/h)
2009	0,05254	0,00033	0,00017	0,00001	0,10177	0,18433	0,17102	0,13697	0,11327	0,07886	0,03565	0,01365
2010	0,04499	0,00032	0,00017	0,00001	0,10173	0,18432	0,17101	0,13697	0,11327	0,07886	0,03565	0,01365
2011	0,04499	0,00032	0,00017	0,00001	0,10173	0,18432	0,017101	0,13697	0,11327	0,07886	0,03565	0,01365

Fuente: SPSS, Saggiomo (2008)

El cuadro 5 refleja la mayor intensidad de lluvia durante el mes de Junio, de los años pronosticados.

Cuadro 6. Intensidad de lluvia. Puerto Ayacucho

AÑO	ENE (mm/h)	FEB(mm/h)	MAR(mm/h)	ABR(mm/h)	MAY(mm/h)	JUN(mm/h)	JUL(mm/h)	AGO(mm/h)	SEP(mm/h)	OCT(mm/h)	NOV(mm/h)	DIC (mm/h)
2009	0,00569	0,00104	0,06112	0,16981	0,29196	0,43797	0,47843	0,33103	0,13597	0,16547	0,09538	0,08958
2010	0,00454	0,00416	0,05781	0,19915	0,27292	0,45609	0,47646	0,35477	0,12319	0,15815	0,13669	0,09874
2011	0,00494	0,00249	0,05900	0,18779	0,27979	0,44933	0,47719	0,34582	0,12776	0,16081	0,11972	0,09526

Fuente: SPSS, Saggiomo (2009)

Los valores más elevados de intensidad de lluvia en Puerto Ayacucho, corresponden al mes de Julio (ver cuadro 6).

DETERMINACIÓN DE LA RADIOATENUACIÓN TROPOSFÉRICA

Esta última fase de la investigación, consistió en realizar los pronósticos de radiotenuación por lluvia de los años 2009 hasta el 2011, de Ciudad Bolívar y Puerto Ayacucho.

Dicho pronóstico fue posible mediante la aplicación de cómputo MATLAB utilizando la recomendación ITU-R P.838-3, la cual arroja como resultados las gráficas para el parámetro de atenuación en función de la frecuencia y de la cantidad de lluvia en la zona.

El rango de frecuencias utilizado para el cálculo comienza desde 1 GHz hasta los 170 GHz con incrementos de 1 GHz, cubriendo todas las designaciones desde Banda L hasta la Banda D, utilizando un ángulo de elevación del trayecto de onda igual a 90° y con una polarización circular de la señal.

Dado que las intensidades de lluvias calculadas en la fase anterior presentan valores similares y en algunos casos idénticos a través de los años, los resultados de radioatenuación troposférica también resultaron con similitudes.

Seguidamente se presentan las figuras con la radioatenuación troposférica por lluvia mensual estimada para Ciudad Bolívar y Puerto Ayacucho, para el año 2011.

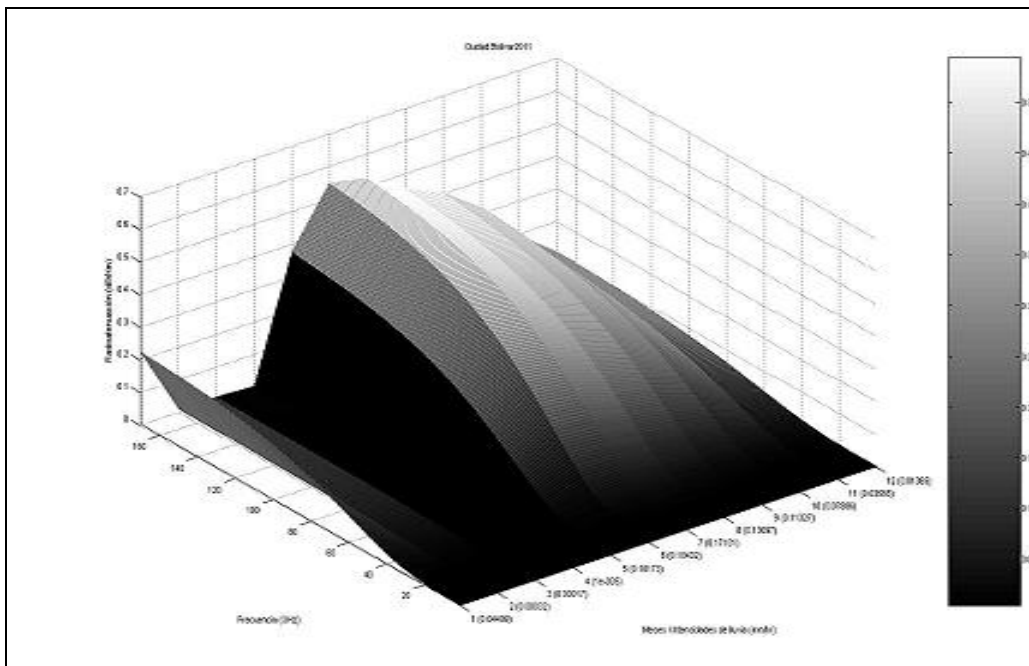


Figura 5. Radioatenuación troposférica por Lluvia para el año 2011. (Ciudad Bolívar)
Fuente: MATLAB, Saggiomo (2009).

Para el año 2011, se visualiza en la figura 5 que en el mes de junio y en el orden de 170 GHz, con una intensidad de lluvia igual a 0,18432 mm/h, se obtuvo una radioatenuación de 0,55 dB/Km. Le siguen las radioatenuación pertenecientes a los meses de julio con 0,53 dB/Km e intensidad de lluvia igual a 0,17101 mm/h.

Siguiendo en el mismo orden de frecuencias de 170 GHz, las menores radioatenuaciones registradas fueron para el mes de febrero y enero siendo ambas iguales a 0,01 dB/Km con intensidades de lluvia de 0,0033 mm/h y 0,00017 mm/h respectivamente. En el anexo I, se detallan de los resultados correspondientes para el año 2011.

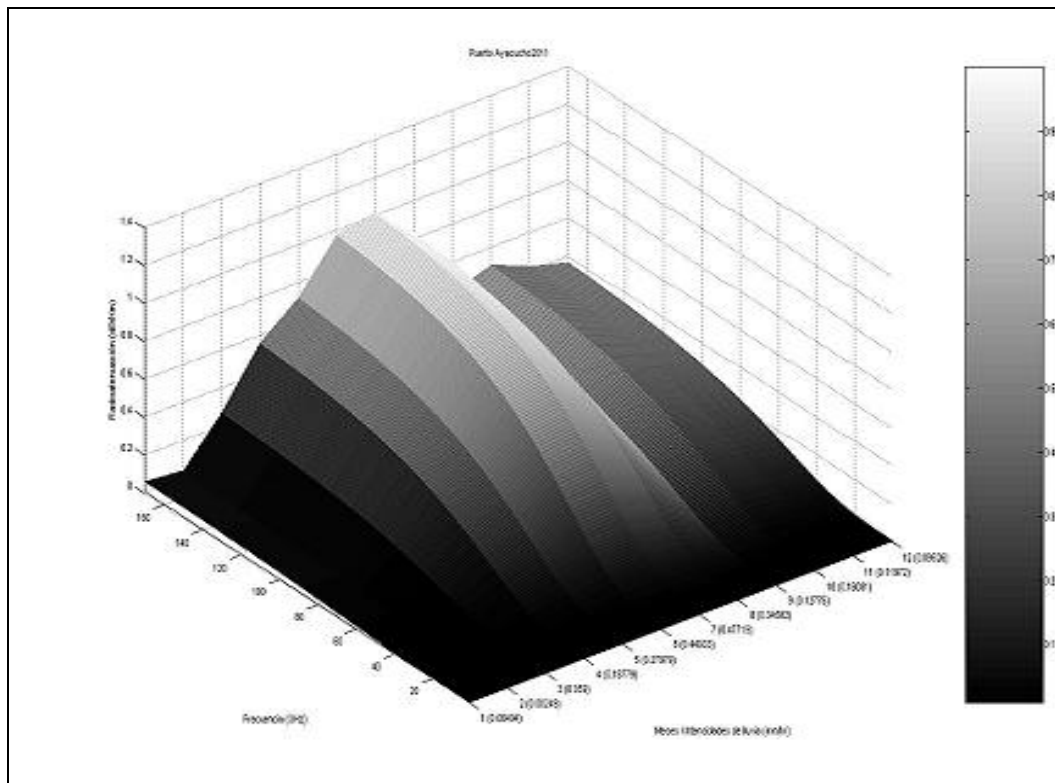


Figura 6. Radioatenuación troposférica por Lluvia para el año 2011. (Puerto Ayacucho). Fuente: MATLAB, Saggiomo (2009).

El año 2011 como se observa la figura 6, que la máxima intensidad de lluvia pronosticada el orden de los 170 GHz fue durante el mes de julio con una radioatenuación de 1,01 dB/Km y una intensidad de 0,47719 mm/h. A su vez, le siguen los meses de junio y agosto de 0,99 dB/Km y 1,00 dB/Km respectivamente con intensidades de lluvia iguales a 0,44933 mm/h y 0,34582 mm/h.

Las radioatenuaciones más leves en el orden de los 170 GHz corresponden a los meses de enero y febrero con una radioatenuación igual a 0,08 dB/Km y 0,07 dB/Km respectivamente con intensidades de lluvia iguales a 0,00494 mm/h y



0,00249 mm/h. En el anexo L, se detallan todos los valores de radioatenuación obtenidos para los meses correspondientes al año 2011.

DISCUSIÓN DE LOS RESULTADOS

De los resultados obtenidos en esta investigación en cada una de las ciudades estudiadas, se afirma que la radioatenuación troposférica de los enlaces aumenta en función de la intensidad de lluvia y de la frecuencia.

Este hecho confirma lo expuesto en las bases teóricas del capítulo II y en los antecedentes referentes a otros estudios realizados los cuales expresan que los fenómenos atmosféricos como la lluvia originada en la troposfera ejercen gran influencia sobre la propagación de las señales debido principalmente a la disipación de energía en forma de calor.

El método de pronósticos ARIMA empleado para pronosticar la lluvia mensual para periodos posteriores basados en el comportamiento de la serie de lluvia real de periodos anteriores, permitió estimar la lluvia desde el año 2009 al 2011 de ciudad Bolívar y Puerto Ayacucho, cuyos valores se corresponden con el comportamiento real de las mismas.

Para la el cálculo de la radioatenuación troposférica por lluvia, se utilizó una aplicación de computo desarrollada en MATLAB, basada en recomendación de la ITU-R P.838-3, la cual permite modificar los rangos de frecuencia y utiliza un ángulo de elevación del trayecto de onda igual a 90° con polarización circular de la señal. También considera otros parámetros adicionales, tales como el grado de inclinación del trayecto de la señal emitida así como la polarización utilizada, ya sea horizontal, vertical o circular.

En base al análisis e interpretación de los valores obtenidos en Ciudad Bolívar, se asevera que los pronósticos de radioatenuación de los años 2009 al 2011 no presentan variaciones significativas entre un año y otro. Las radioatenuaciones más elevadas corresponden siempre al mes de junio, resultando una radioatenuación igual a 0,55 dB/Km, seguida por el mes de julio con una radioatenuación de 0,53 dB/Km, e intensidad igual a 0,17101 mm/h.

Los valores resultantes del pronóstico de puerto Ayacucho para los años 2009 al 2011, presentan una máxima radioatenuación durante el mes de julio, con 1,01 dB/Km y diversas intensidades muy mínimas como 0,47843, 0,47646 y 0,47719 mm/h, observándose similitud entre cada uno de los años.

De estas dos ciudades es resaltante el hecho de que Puerto Ayacucho presenta los mayores valores de radioatenuación troposférica por lluvia, con un máximo correspondiente a 1,01 dB/Km e intensidad de lluvia máxima de 0,47843 mm/hr. Dicha observación se correlaciona con el hecho de que los valores de la serie de lluvia real de puerto Ayacucho son mayores que la de ciudad Bolívar.



En el mismo orden de ideas, ciudad Bol var presenta la m s leve radioatenuaci n troposf rica por lluvia con 0,00033 y 0.00017 dB/Km, derivada de una intensidad de lluvia igual a 0,01 mm/h.

Los resultados obtenidos de esta investigaci n deben ser considerados por los proveedores de servicios de telecomunicaciones en las ciudades estudiadas, ya que les permitir  evitar inconvenientes relacionados con la p rdida de la se al en los enlaces.

Es importante mencionar que el pron stico de radioatenuaci n troposf rica realizado, maneja cierto margen de error, ya que el c lculo del intensidad de lluvia se hizo mediante el n mero de d as por mes y n mero de horas por d as y no por el m todo de estimaci n del promedio de d as de lluvia y horas de lluvia, dando como resultado que de esta forma la intensidad de lluvia por hora calculada es mucho menor que la real, resultando en una radioatenuaci n de nivel inferior.

CONCLUSIONES

La metodolog a empleada mediante el m todo de pron stico ARIMA permiti  identificar el modelo m s adecuado, para representar los valores de lluvia futura desde el a o 2009 al 2011 para Ciudad Bol var y Puerto Ayacucho, mediante el uso de uso del software SPSS para Windows.

Se determin  el comportamiento de cada una de las series de datos de lluvia mensual, identificando su periodo estacionalidad y su tendencia variable o aleatoria, esta  ltima debido a los efectos de otros factores independientes del fen meno climatol gico no relacionados directamente a la lluvia.

Mediante el uso de gr ficos de secuencia se determin  que el comportamiento anual de la lluvia pronosticada es similar al comportamiento de la lluvia real, garantizando la validez del pron stico.

La determinaci n de la intensidad de lluvia por hora a partir de los d as del mes y horas por d a, fue necesaria para el c lculo de radioatenuaci n, resultando que ciudad Bol var present  el valor m s elevado con intensidad igual a 0,47843 mm/hr en el mes de julio.

Los valores m s altos de radioatenuaci n se registraron en ciudad Bol var, siendo 1,01 dB/Km la radioatenuaci n correspondiente al mes de julio.

REFERENCIAS BIBLIOGR FICAS

Cardama, A. Cofre, L., R ius, J. Romeu, J. Blanch S. y Ferrando, M. (2004). Antenas. M xico: Alfaomega.

Fuerza A rea. (1984). Atlas Climatol gico. (101). Venezuela. Ministerio de la Defensa.



- Arias, F. (1999) El proyecto de Investigación. Guía para su elaboración. Caracas. Episteme
- Guo, G., Li, S. (2000). Study on the Vertical Profile of Refractive Index in the Troposphere. *International Journal of Infrared and Millimeters Waves*, 21(7), 1103-1111.
- Hernández, R., Fernández, C. y Baptista, P. (1998). Metodología de la Investigación. México: McGraw-Hill.
- ITU (2005). Specific attenuation model for rain for use in prediction methods. Recommendation ITU-R P.838-3.
- López, B. (1999). Metodología de Investigación y Elaboración de Reportes. México: Instituto Tecnológico de Nuevo Laredo.
- Makridakis, S. y Wheelwright, S. (2004). Métodos de Pronósticos. México: Limusa.
- Méndez, C. (1995). Metodología. Colombia: McGraw-Hill.
- Muñoz, A., Pacheco, R., Cubillán, N., Durante, C., Durán L., Fermín, J. (2006). Modelling tropospheric radio-attenuation parameters for tropical countries. The Venezuela case. *Ciencia*, 14(4), 428-434.
- Pérez, C. (2005). Métodos Estadísticos Avanzados con SPSS. España: Thomson.
- Risquez, G., Fuenmayor, E. y Pereira, B. (1999). Metodología de la Investigación. Maracaibo: Proeduca.
- Vargas, H. (2006). *Modelo gráfico para el cálculo de parámetros de radio atenuación troposférica*. Tesis de Maestría, Universidad Rafael Belloso Chacín.
- Yeo, T., Kooi, P., Leong, M., Li, L. (2001). Tropical Raindrop Size Distribution for the Prediction of Rain Attenuation of Microwaves in the 10-40 GHz Band. *IEEE Transactions on Antennas and Propagation*, 49(1), 80-83.
- Zsarolyani, A. (2007). Pronóstico de Radioatenuación Troposférica por lluvia para la ciudad de Maracay. Tesis de Maestría, Universidad Rafael Belloso Chacín.